
Communiqué

Institut de physique du globe de Paris
Observatoire volcanologique du Piton de la Fournaise

11 avril 2026 – 9h20 heure locale – 5h20 UTC

Éruption en cours

L'éruption débutée le 13 février 2026 au Piton de la Fournaise se poursuit. Après deux phases d'arrêt (entre le 25 et le 28 mars et entre le 3 et le 8 avril), l'activité éruptive a repris le 8 avril vers 13h15 heure locale, d'abord au sein du cône éruptif formé depuis le 13 février à 2056 m d'altitude sur le flanc sud-sud-est du volcan, et depuis le 9 avril (9h15 heure locale) au niveau d'un deuxième point d'émission ouvert environ 180 m un peu plus en amont dans une zone déjà fragilisée le 13 février (Figure 1).

A noter qu'**aucun nouveau dyke* ne s'est formé ou propagé en lien avec ce point d'émission. Il s'agit donc toujours de la même éruption, mais avec l'ouverture d'un nouveau point d'émission en surface.** Pour rappel au début de l'éruption, un total de 4 fissures éruptives s'étaient ouvertes avant de se focaliser en un point sur le flanc sud-sud-est du volcan.

Ce nouveau site d'émission, plus en amont, est actuellement le plus actif avec une activité de fontaines de lave, dont les retombées sont en train de former un nouveau cône. Ce cône reste actuellement égueulé (ouvert) favorisant les écoulements de lave. Quant au cône formé le 13 février, l'activité y reste faible, bien qu'un fort dégazage y soit toujours observé.

Suite à l'ouverture de ce nouveau point d'émission, **l'activité de coulée de lave est pour l'instant située en amont des Grandes Pentes** et forme un nouveau champ de lave, à proximité et au sud de celui formé entre le 13 février et le 3 avril (Figure 1).

* *Dyke : fracture verticale ou subverticale en ouverture, dans laquelle s'injecte du magma depuis un réservoir magmatique, et qui se propage vers la surface. Au Piton de la Fournaise, ces structures peuvent atteindre jusqu'à 2 m d'épaisseur et se propager sur plusieurs centaines de mètres, voire plusieurs kilomètres.*

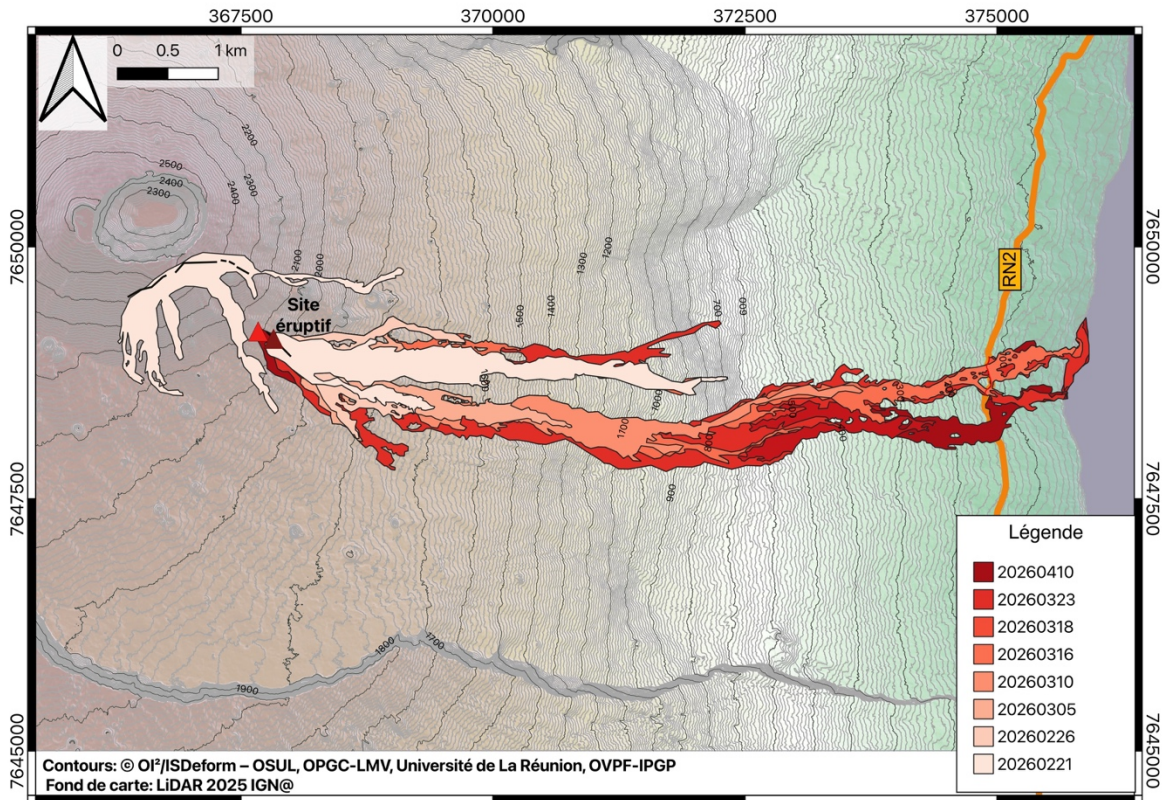


Figure 1 : Cartographie des coulées de lave de l'éruption du 13 février – en date du 10 avril 2026. Les segments noirs indiquent la localisation des fissures éruptives. Les deux triangles indiquent les cônes éruptifs actuellement actifs. Les zones colorées indiquent le contour des coulées de lave à différentes dates indiquées en légende. Ces contours ont été estimés à partir de données satellitaires Sentinel-1, Sentinel-2 et Planet. A noter que compte tenu de la couverture nuageuse sur les images satellitaires, le contour du 10 avril 2026 n'est que partiel (©OI²/ISDeform – OSUL, OPGC-LMV, Université de La Réunion, OVPF-IPGP).

Trémor et débits

Suite à une période de trémor volcanique[†] intermittent observée à la reprise de l'activité le 8 avril (cf. communiqué du 9 avril), **le trémor est continu depuis le 9 avril 12h25 heure locale (8h25 UTC), et relativement stable depuis**, avec seulement de légères fluctuations (Figure 2).

Les débits de lave en surface estimés grâce aux données satellitaires (HOTVOLC, OPGC-Université Clermont Auvergne) ont montré sur les dernières 24 heures **des valeurs maximales de 15 m³/s (Figure 3)**. A noter que ces valeurs peuvent être sous-estimées par des biais d'observation, notamment liés aux conditions météorologiques (ennuage) et au développement éventuel d'écoulements en tunnels de lave, qui limitent la détection du rayonnement thermique.

[†] Trémor volcanique : signal sismique quasi continu associé à la circulation de fluides magmatiques et/ou gazeux dans l'édifice volcanique. Ses mécanismes sources peuvent inclure l'écoulement de fluides, des instabilités d'écoulement, ainsi que la résonance de conduits ou de fractures remplies de fluides



Communiqué – 11 avril 2026 – 9h20 heure locale – 5h20 UTC
Observatoire volcanologique du Piton de la Fournaise - IPGP

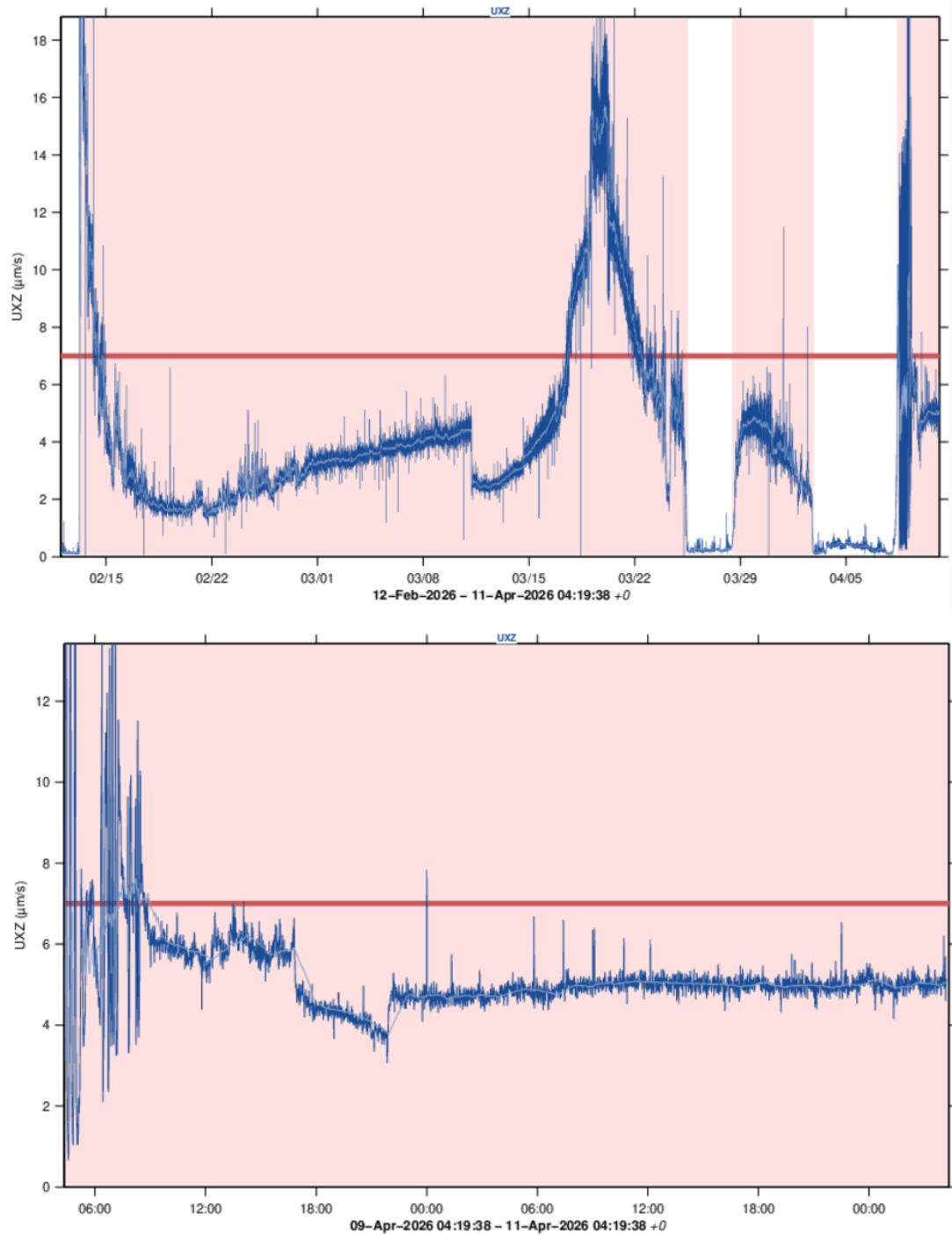


Figure 2 : Évolution de l'amplitude du trémor sur la station sismologique FOR située à proximité du site éruptif. En haut : depuis le début de l'éruption le 13 février 2026, en bas : zoom sur les dernières 48h. Les périodes éruptives sont indiquées en rouge (©WebObs/OVPF-IPGP).

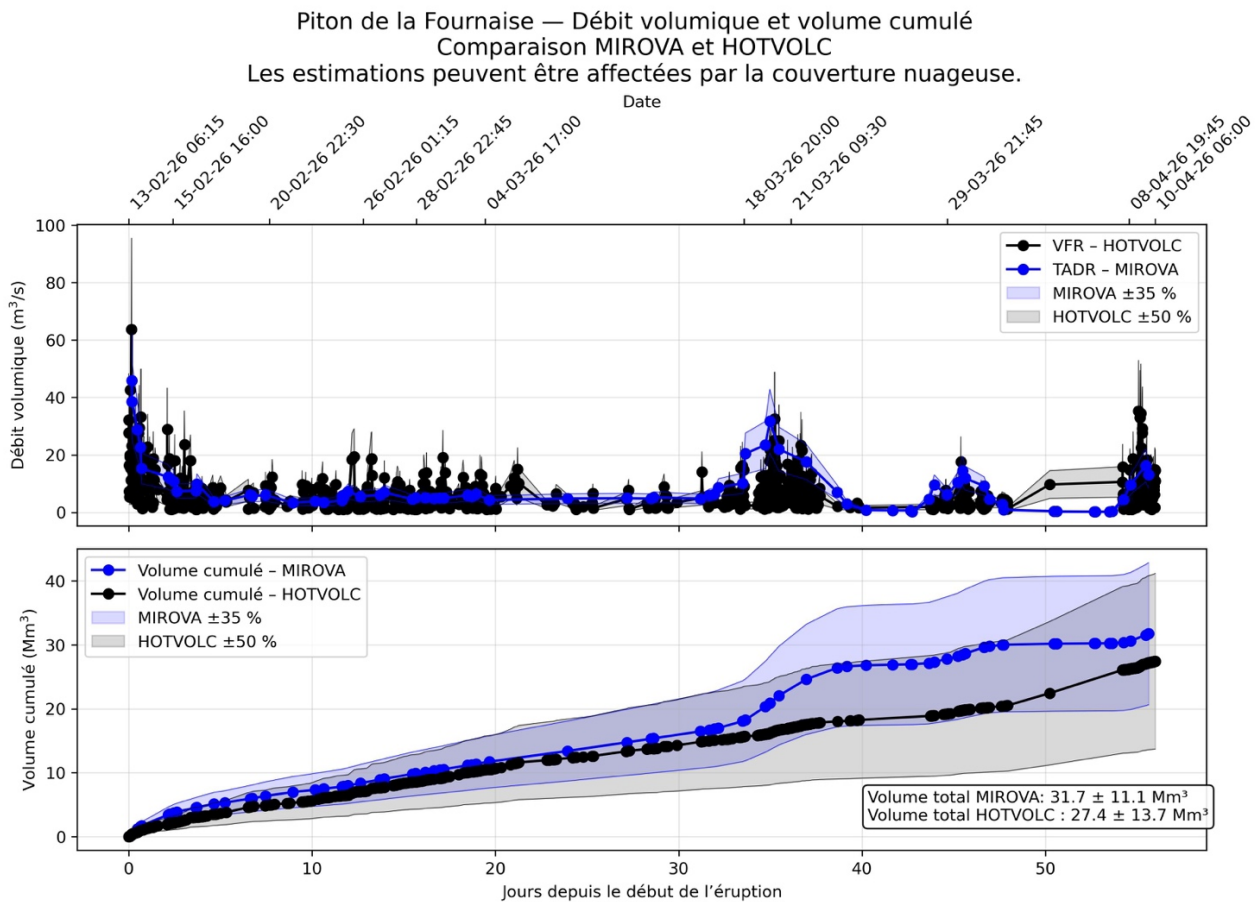


Figure 3 : Estimation des débits de lave en surface (m^3/s) et du volume cumulé de lave émis en surface (Millions de m^3 , Mm^3) à partir des données satellites de la plateforme HOTVOLC (en noir, ©OPGC-Université Clermont Auvergne) et MIROVA (en bleu, ©Université de Turin) depuis le 13 février.

Les estimations du flux de dioxyde de soufre (SO_2) mesuré par satellite (TROPOMI) et estimé par le réseau DOAS NOVAC montrent un nouveau pic de dégazage suite à la reprise de l'éruption et à l'ouverture du nouveau site éruptif (Figure 4). La masse totale de SO_2 émise depuis le début de l'éruption est estimée à plus de 80 kt.

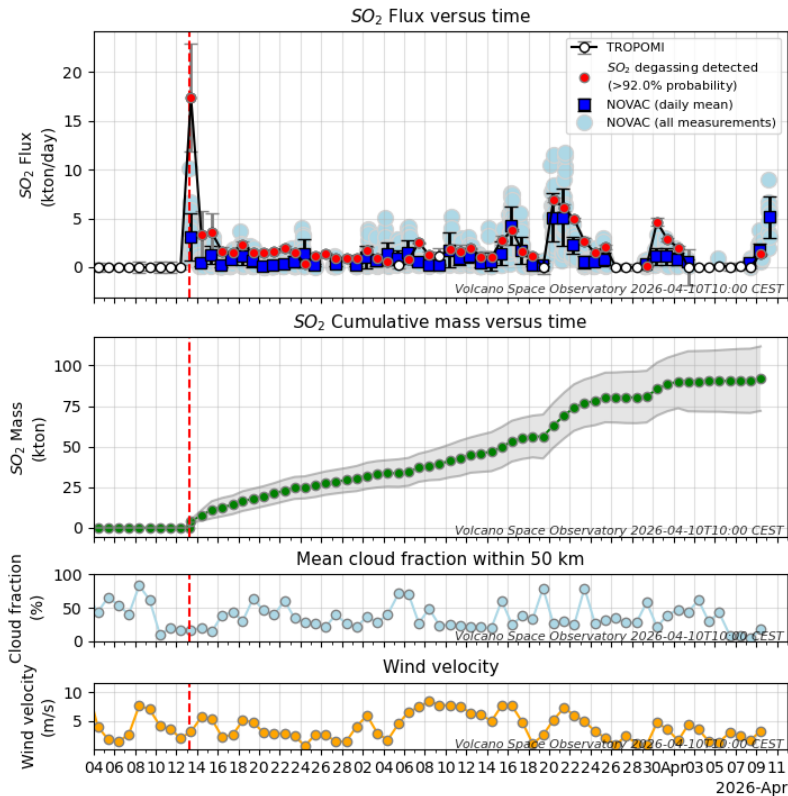


Figure 4 : Évolution du flux de dioxyde de soufre (SO₂) mesuré par satellite (TROPOMI) et estimé par le réseau DOAS NOVA-C. En haut : flux journalier de SO₂. Au centre : masse cumulée de SO₂ émise. En bas : fraction nuageuse moyenne dans un rayon de 50 km. La ligne rouge verticale indique le début de l'éruption le 13 février 2026 au Piton de la Fournaise. (© Volcano Space Observatory ; ICARE/AERIS/FormaTerre/LOA/IPGP ; TROPOMI/Sentinel-5P – ESA Copernicus ; NOVA-C – Univ. de Chalmers – OVPF-IPGP).

Sismicité

L'activité sismique est en hausse depuis hier avec 34 séismes volcano-tectoniques superficiels enregistrés le 10 avril et 36 séismes depuis 0h UTC le 11 avril (Figure 5).

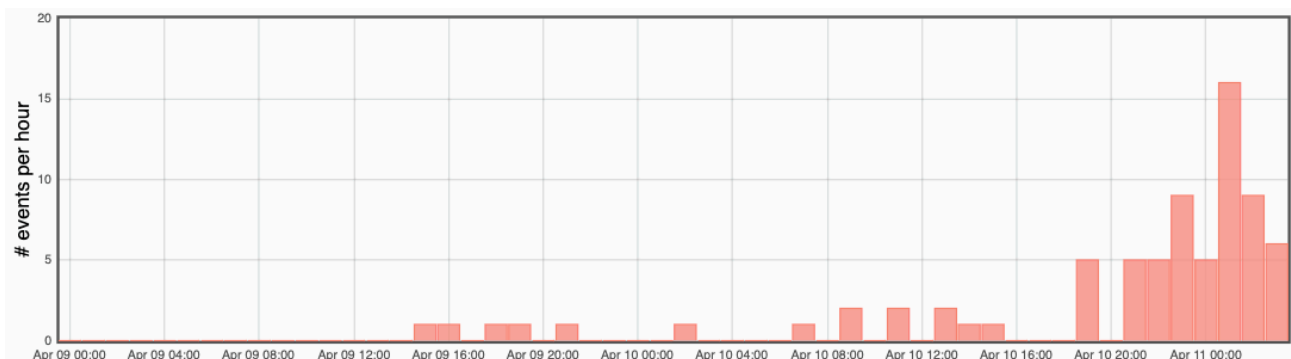


Figure 5 : Nombre de séismes volcano-tectoniques sommitaux par heure depuis le 9 avril 2026.



Déformation

Suite à l'arrêt de l'éruption du 3 avril, une inflation de l'édifice était enregistrée (Figure 6), traduisant une pressurisation du réservoir magmatique superficiel localisé entre 1,5 et 2 km sous le sommet du volcan. Depuis la reprise de l'activité le 8 avril, nous sommes rentrés dans une nouvelle phase de déflation comme lors de l'épisode éruptif précédent. Ce paramètre sera à confirmer ces prochains jours.

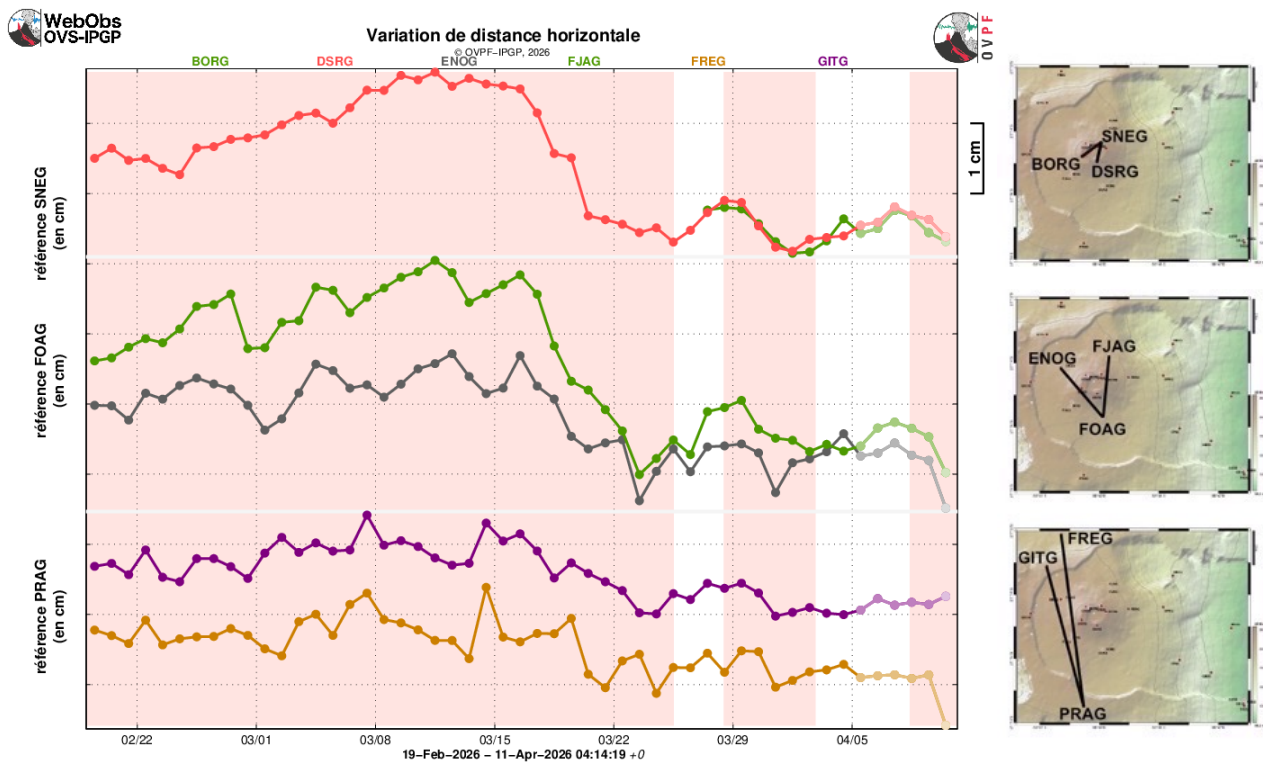


Figure 6 : Illustration de la déformation entre le 19 février et le 11 avril 2026. Sont ici représentées les variations de distance horizontale entre couples de récepteurs GNSS traversant l'édifice du Piton de la Fournaise, au sommet (référence SNEG ; en haut), à la base du cône terminal (référence FOAG ; au milieu) et en champ lointain (référence PRAG ; en bas). La localisation des stations GNSS est indiquée à droite. Une augmentation est synonyme d'élongation et donc de gonflement du volcan ; inversement une diminution indique une contraction et donc un dégonflement du volcan. Les périodes éruptives sont indiquées en rouge (©WebObs/OVVPF-IPGP).

Niveau d'Alerte 2.2

La direction de l'OVVPF-IPGP



Communiqué – 11 avril 2026 – 9h20 heure locale – 5h20 UTC
Observatoire volcanologique du Piton de la Fournaise - IPGP

Informations

Merci aux organismes, collectivités et associations d’afficher publiquement ce bulletin pour une diffusion la plus large possible.

Retrouvez l’ensemble des informations relatives à l’activité du Piton de la Fournaise sur les différents médias de l’OVPF-IPGP :

- le site internet : ipgp.fr/fr/ovpf/actualites-ovpf

- le compte bluesky : [@ovpf.bsky.social](https://bsky.app/profile/ovpf.social)

- le compte Facebook : facebook.com/ObsVolcanoPitonFournaise

Les informations de ce document ne peuvent être utilisées sans y faire explicitement référence.